

## 不同晶型 $\text{Bi}_2\text{O}_3$ 可见光光催化降解罗丹明 B 的研究

邹文 郝维昌\* 信心 王天民

(北京航空航天大学材料物理与化学研究中心, 北京 100191)

**摘要:** 采用化学沉淀法制备了  $\alpha$ 、 $\beta$ 、 $\gamma$  3 种晶体结构的  $\text{Bi}_2\text{O}_3$  光催化剂。利用 XRD、TEM、氮气吸附、TG-DSC、紫外-可见漫反射光谱对样品的晶体结构、微观形貌、光学吸收特性进行了表征, 并以罗丹明 B(RhB)作为模型污染物, 研究了不同的粉体光催化剂在可见光( $\lambda>420 \text{ nm}$ )照射下的光催化能力。结果表明: 制备的  $\alpha$ - $\text{Bi}_2\text{O}_3$  为长  $3 \mu\text{m}$ 、宽  $1 \mu\text{m}$  的板条状颗粒, 带隙为  $2.84 \text{ eV}$ ;  $\beta$ - $\text{Bi}_2\text{O}_3$  为粒径约  $150 \text{ nm}$  的不规则颗粒, 带隙为  $2.75 \text{ eV}$ ;  $\gamma$ - $\text{Bi}_2\text{O}_3$  为直径  $6 \text{ nm}$ 、长度  $150\sim200 \text{ nm}$  的纳米管, 带隙为  $2.68 \text{ eV}$ 。在可见光照射下  $\text{Bi}_2\text{O}_3$  光催化降解 RhB 的活性如下:  $\gamma$ - $\text{Bi}_2\text{O}_3>\beta$ - $\text{Bi}_2\text{O}_3>\alpha$ - $\text{Bi}_2\text{O}_3$ , 其中  $\gamma$ - $\text{Bi}_2\text{O}_3$  在辐照  $60 \text{ min}$  后对罗丹明 B 的脱色率可达 97%以上。

**关键词:**  $\text{Bi}_2\text{O}_3$ ; 可见光; 光催化; 纳米管

中图分类号: O643 文献标识码: A 文章编号: 1001-4861(2009)11-1971-06

## Visible-Light Photocatalytic Degradation of RhB by $\text{Bi}_2\text{O}_3$ Polymorphs

ZOU Wen HAO Wei-Chang\* XIN Xin WANG Tian-Min

(Center of Material Physics and Chemistry, Beihang University, Beijing 100191)

**Abstract:** The  $\alpha$ ,  $\beta$ , and  $\gamma$ - $\text{Bi}_2\text{O}_3$  were obtained by a chemical precipitation method. The crystal structures, morphologies and optical properties of  $\text{Bi}_2\text{O}_3$  polymorphs were characterized by X-ray diffraction (XRD), transmission electron microscopy (TEM), nitrogen adsorption method, thermal gravimetry-differential scanning calorimetry (TG-DSC) and ultraviolet-visible diffuse reflectance spectroscopy (UV-Vis DRS). The photocatalytic performance of  $\text{Bi}_2\text{O}_3$  was evaluated using rhodamine B (RhB) as a model pollutant under visible light illumination ( $\lambda>420 \text{ nm}$ ). The result showed that the lath-shaped  $\alpha$ - $\text{Bi}_2\text{O}_3$  with a band gap of  $2.84 \text{ eV}$  was  $3 \mu\text{m}$  in length and  $1 \mu\text{m}$  in width; the irregular  $\beta$ - $\text{Bi}_2\text{O}_3$  with a band gap of  $2.75 \text{ eV}$  had a particle size of approximately  $150 \text{ nm}$ ; the nanotube  $\gamma$ - $\text{Bi}_2\text{O}_3$  with a band gap of  $2.68 \text{ eV}$  was  $6 \text{ nm}$  in diameter and  $150 \text{ nm}$  to  $200 \text{ nm}$  in length. The photocatalytic degradation of RhB by  $\text{Bi}_2\text{O}_3$  polymorphs under visible light illumination were as follows:  $\gamma$ - $\text{Bi}_2\text{O}_3>\beta$ - $\text{Bi}_2\text{O}_3>\alpha$ - $\text{Bi}_2\text{O}_3$ . The  $\gamma$ - $\text{Bi}_2\text{O}_3$  nanotube exhibited the best photocatalytic performance which can effectively degrade 97% RhB within  $60 \text{ min}$ .

**Key words:**  $\text{Bi}_2\text{O}_3$ ; visible light; photocatalytic; nanotube

自从 1972 年 Fujishima 和 Honda<sup>[1]</sup>发现  $\text{TiO}_2$  光催化分解水的现象以来, 半导体光催化材料的研究受到了广泛的重视<sup>[2,3]</sup>。目前研究比较充分的是  $\text{TiO}_2$ , 其带隙较宽(约为  $3.2 \text{ eV}$ ), 只能利用紫外光( $\lambda<387 \text{ nm}$ )进行光催化反应<sup>[4-7]</sup>。而在太阳能中, 紫外光

( $200\sim400 \text{ nm}$ )的能量仅占 4%, 可见光则占 43%, 因此研究开发具有可见光响应的新型光催化材料具有重要意义<sup>[8-11]</sup>。

$\text{Bi}_2\text{O}_3$  作为一种重要的半导体材料, 已经在电子陶瓷、光电器件、高温超导、催化剂等方面获得了应

收稿日期: 2009-07-27。收修改稿日期: 2009-09-02。

国家自然科学基金资助项目(No.50732004)。

\*通讯联系人。E-mail: whao@buaa.edu.cn; 会员登记号: E491105331M。

第一作者: 邹文, 男, 24岁, 硕士研究生; 研究方向: 新型催化材料。

用<sup>[12]</sup>。其主要以  $\alpha$ 、 $\beta$ 、 $\gamma$  和  $\delta$  4 种晶型存在, 带隙从  $\beta$ - $\text{Bi}_2\text{O}_3$  的 2.58 eV 到  $\alpha$ - $\text{Bi}_2\text{O}_3$  的 2.85 eV 不等<sup>[13~16]</sup>。Bessekhouad 等<sup>[17]</sup>制备了  $\alpha$ - $\text{Bi}_2\text{O}_3$  并与  $\text{TiO}_2$  复合来研究其光催化性能的变化, 发现  $\text{Bi}_2\text{O}_3/\text{TiO}_2$  复合氧化物具有最好的催化效率; Wang 等<sup>[18]</sup>制备了  $\beta$ - $\text{Bi}_2\text{O}_3$  纳米线并与  $\text{TiO}_2$ 、 $\text{ZnO}$  纳米线的光催化性能进行对比, 发现  $\beta$ - $\text{Bi}_2\text{O}_3$  具有较好的催化能力; Gurunathan<sup>[19]</sup>则研究了过渡金属离子掺杂对  $\gamma$ - $\text{Bi}_2\text{O}_3$  光催化产氢效率的影响, 发现掺杂  $\text{Pd}^{2+}$  的  $\gamma$ - $\text{Bi}_2\text{O}_3$  具有最高的产氢效率。但对于不同晶体结构对  $\text{Bi}_2\text{O}_3$  光催化性能的影响未进行深入研究。本文通过不同的工艺条件分别制备了  $\alpha$ 、 $\beta$ 、 $\gamma$  3 种晶体结构的  $\text{Bi}_2\text{O}_3$ , 在可见光照射下以罗丹明 B(RhB)为模型污染物对其光催化性能进行了研究。

## 1 实验部分

### 1.1 主要试剂

硝酸铋( $\text{Bi}(\text{NO}_3)_3 \cdot 5\text{H}_2\text{O}$ )、浓硝酸、氢氧化钠、十六烷基三甲基溴化铵(CTAB)、草酸、罗丹明 B 均为分析纯, 商品  $\text{TiO}_2$  P-25(Degussa Corp., 比表面积 50  $\text{m}^2 \cdot \text{g}^{-1}$ , 平均粒径 21 nm)。

### 1.2 光催化剂的制备

将 2 g  $\text{Bi}(\text{NO}_3)_3 \cdot 5\text{H}_2\text{O}$  溶入 20 mL 1 mol·L<sup>-1</sup> 稀硝酸中, 加入 0.1 g CTAB, 磁力搅拌 20 min。共制备 3 份上述溶液, 分别记为 A、B、C。向 A 中加入 200 mL 2 mol·L<sup>-1</sup> NaOH 溶液, 搅拌 30 min 后将体系超声分散、过滤, 用去离子水和乙醇冲洗沉淀物 3 次, 80 °C 干燥 8 h(记为样品 A-1), 然后取 0.5 g A-1 在 500 °C 热处理 2 h, 即得黄绿色样品(记为 A-2)。向 B 中加入 0.4 g 草酸, 搅拌 30 min 后超声分散、过滤、冲洗沉淀物, 80 °C 干燥 12 h(记为 B-1), 然后取 0.5 g B-1 在 270 °C 热处理 2 h 即得黄色粉末(记为 B-2)。向 C 中加入 200 mL 0.21 mol·L<sup>-1</sup> NaOH 溶液, 搅拌 30 min 后超声分散、过滤、冲洗沉淀物, 80 °C 干燥 8 h(记为 C-1), 最后取 0.5 g C-1 在 500 °C 热处理 2 h, 即得浅黄色样品(记为 C-2)。

### 1.3 催化剂的表征

采用 PANalytical 公司 X' Pert Pro 型 X 射线衍射仪(XRD)分析样品晶体结构和成分, 工作电压 40 kV, 电流 40 mA, 辐射源为 Cu 钮  $K\alpha$ ; 利用日本电子 JEM-2010 型透射电子显微镜(TEM)研究样品微观结构和晶粒形貌, 工作电压 200 kV; 利用康塔公司 Quadasorb SI 比表面和孔隙度分析仪测试比表面

积, 样品经常温脱气处理后在液氮温度下进行氮气吸附-脱附实验, 由 BET 方程计算比表面积; 用 NETZSCH 公司 DSC 409PC 差示扫描量热仪(TG-DSC) 测定样品的热力学性能, 测定温度范围为: 100~800 °C, 氩气气氛保护; 利用 GBC 公司配有积分球的 Cintra-10e 型紫外-可见分光光度计测定样品的紫外-可见漫反射光谱(以  $\text{BaSO}_4$  为参比样品)。

### 1.4 光催化实验

以光催化降解罗丹明 B(RhB)作为模型反应, 采用紫外-可见分光光度计测试溶液的吸收光谱来获得相对浓度, 依据 RhB 脱色率的变化评价样品的光催化活性。光源为 375 W 梅灯, 滤波片只允许  $\lambda > 420$  nm 可见光透过, 光源距离反应液 25 cm。空白实验: 在不添加光催化剂时将 50 mL 2×10<sup>-5</sup> mol·L<sup>-1</sup> RhB 溶液置于上述可见光下照射 90 min, 测定其脱色率。吸附/脱附实验: 在无光照条件下将 93.2 mg 样品加入 50 mL 2×10<sup>-5</sup> mol·L<sup>-1</sup> RhB 溶液中, 搅拌 90 min 使之达到吸附/脱附平衡, 离心测定清液脱色率。光催化实验: 采用已达吸附-脱附平衡的样品进行实验, 每隔一定时间取样 3 mL 离心测定清液脱色率。

## 2 结果与讨论

### 2.1 XRD 和 TEM 分析

图 1 为不同样品 A-2、B-2、C-2 的 XRD 图。对照标准图谱, 由图中可以看出, 不同工艺条件制备的光催化剂具有不同的结构: 样品 A-2 的衍射峰对应单斜结构  $\alpha$ - $\text{Bi}_2\text{O}_3$  的特征衍射峰(PDF No.14-0699), B-2 对应四方结构  $\beta$ - $\text{Bi}_2\text{O}_3$  (PDF No.27-0050), C-2 对应立方结构  $\gamma$ - $\text{Bi}_2\text{O}_3$ (PDF No.45-1344), 相应的晶格参数见表 1。图 2 为不同样品的 TEM 图像。由图中

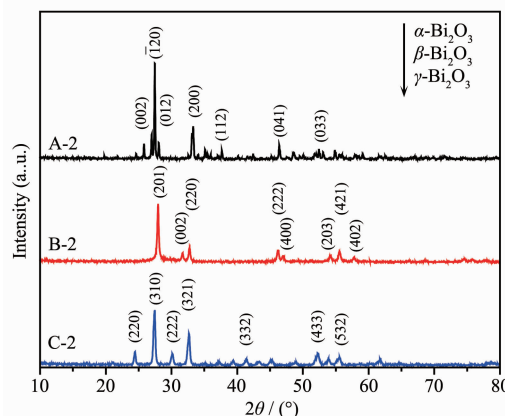


图 1 不同光催化剂的 XRD 图

Fig.1 XRD patterns of different photocatalysts

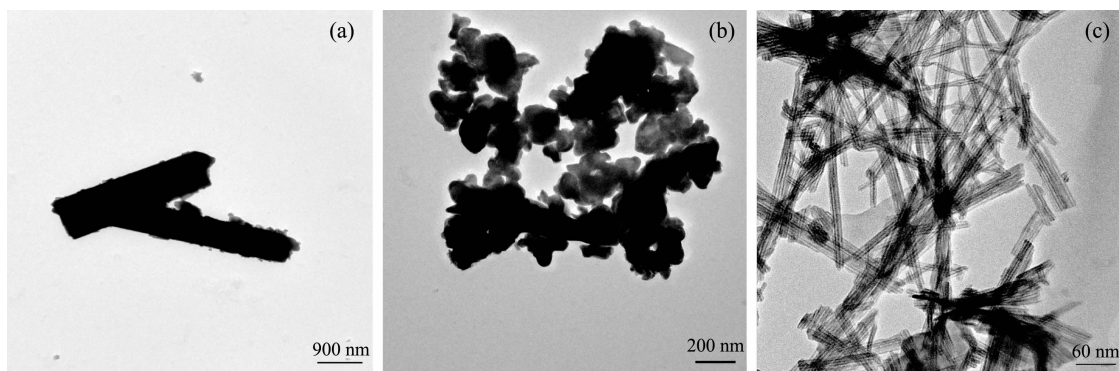
(a)  $\alpha$ - $\text{Bi}_2\text{O}_3$ ; (b)  $\beta$ - $\text{Bi}_2\text{O}_3$ ; (c)  $\gamma$ - $\text{Bi}_2\text{O}_3$ 

图 2 不同光催化剂的 TEM 图像

Fig.2 TEM images of different photocatalysts

表 1 不同晶型  $\text{Bi}_2\text{O}_3$  的晶格参数Table 1 Cell parameters of different  $\text{Bi}_2\text{O}_3$  polymorphs

Phase	Space group	Crystalline cell			
		$a$ / nm	$b$ / nm	$c$ / nm	$\beta$ / ( $^{\circ}$ )
$\alpha$ - $\text{Bi}_2\text{O}_3$	$P2_1/c$	0.584 44	0.815 74	0.750 32	112.97
$\beta$ - $\text{Bi}_2\text{O}_3$	$P\bar{4}2_1c$	0.774 1		0.563 4	
$\gamma$ - $\text{Bi}_2\text{O}_3$	$I2_3$	1.025 01			

可知,制备的  $\alpha$ - $\text{Bi}_2\text{O}_3$  为长  $3 \mu\text{m}$ 、宽  $1 \mu\text{m}$  的板条状颗粒; $\beta$ - $\text{Bi}_2\text{O}_3$  为粒径约  $150 \text{ nm}$  的不规则颗粒; $\gamma$ - $\text{Bi}_2\text{O}_3$  为直径  $6 \text{ nm}$ 、长度  $150\sim200 \text{ nm}$  的纳米管。表 2 为不同样品的 BET 比表面积。由此可知,样品比表面积由大到小依次为: $\gamma$ - $\text{Bi}_2\text{O}_3$ > $\beta$ - $\text{Bi}_2\text{O}_3$ > $\alpha$ - $\text{Bi}_2\text{O}_3$ ,与 TEM 图像相对应。

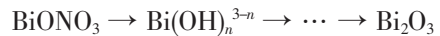
表 2 不同光催化剂的 BET 比表面积

Table 2 BET surface area of different photocatalysts

Sample	$\alpha$ - $\text{Bi}_2\text{O}_3$	$\beta$ - $\text{Bi}_2\text{O}_3$	$\gamma$ - $\text{Bi}_2\text{O}_3$
BET Surface / ( $\text{m}^2 \cdot \text{g}^{-1}$ )	1.082	3.124	35.736

$\text{Bi}_2\text{O}_3$  具有 4 种不同的晶体结构,在电学、光学等方面表现出不同的物理性质<sup>[14,20]</sup>。其中  $\alpha$ - $\text{Bi}_2\text{O}_3$  为低温相, $\delta$ - $\text{Bi}_2\text{O}_3$  为高温相, $\beta$ - $\text{Bi}_2\text{O}_3$  和  $\gamma$ - $\text{Bi}_2\text{O}_3$  为高温亚稳相。文献表明,制备工艺对  $\text{Bi}_2\text{O}_3$  的晶体结构有

重要的影响,反应物配比和热处理工艺的不同很容易伴随相变的发生<sup>[17~19,21]</sup>。由于  $\text{Bi}(\text{NO}_3)_3$  易水解生成  $\text{BiONO}_3$ , 在碱性条件下  $\text{BiONO}_3$  可转化成溶解度更低的  $\text{Bi(OH)}_3$ , 适当控制  $\text{OH}^-$  浓度,  $\text{Bi(OH)}_3$  可以发生脱水缩聚反应生成  $\text{Bi}_2\text{O}_3$ , 即有以下过程<sup>[22]</sup>:



因此碱液浓度可以影响  $\text{Bi}_2\text{O}_3$  的形核与结晶过程。由于高的碱液浓度更倾向于在溶液中形成  $\text{Bi}-\text{O}-\text{Bi}$  桥联结构<sup>[22,23]</sup>, 因此在晶核量相同时( $\text{Bi}^{3+}$  数量相同)其更有利晶核的生长,故  $\alpha$ - $\text{Bi}_2\text{O}_3$  颗粒粒径较大而  $\gamma$ - $\text{Bi}_2\text{O}_3$  则较小。而  $\beta$ - $\text{Bi}_2\text{O}_3$  的生成方式与上述两者不同,是由  $\text{Bi}(\text{NO}_3)_3$  在酸性条件下先转变为  $\text{Bi}_2(\text{C}_2\text{O}_4)_3$ ,  $\text{Bi}_2(\text{C}_2\text{O}_4)_3$  再分解就得到无规则形貌的  $\beta$ - $\text{Bi}_2\text{O}_3$ 。

## 2.2 TG-DSC 分析

图 3 为不同样品前驱体 A-1、B-1、C-1 的 TG-DSC 测试结果。由图 3(a)可知,前驱体 A-1 在  $100\sim600 \text{ }^{\circ}\text{C}$  仅有  $1.5\%$  的失重,这可能归因于残余少量分散剂的燃烧反应;在  $600\sim800 \text{ }^{\circ}\text{C}$  时 TG 曲线基本无失重信号,此时对应样品的结晶化过程,DSC 曲线表明在  $728\sim750 \text{ }^{\circ}\text{C}$  有一个强吸热峰,这应该归因于  $\alpha \rightarrow \delta$  转变<sup>[13]</sup>。由图 3(b)可知,前驱体 B-1 在  $125\sim$

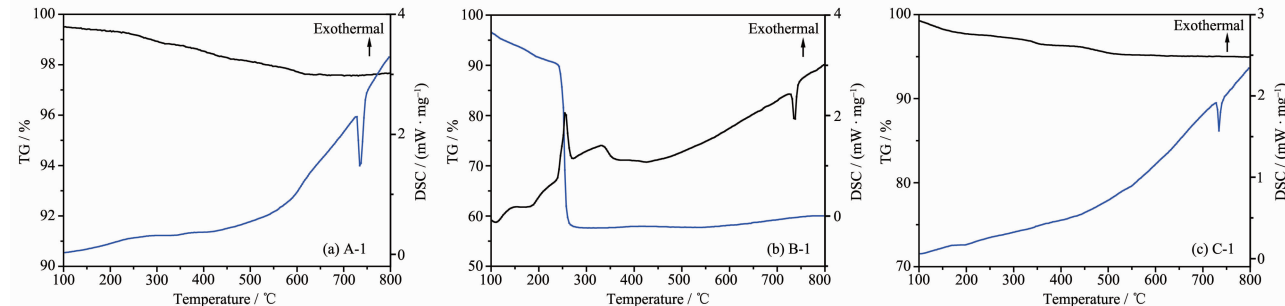


图 3 不同光催化剂前驱体的 TG-DSC 曲线

Fig.3 TG-DSC curves of different photocatalyst precursors

165 °C 有 1.6% 的失重, 对应的 DSC 曲线上出现一个放热峰, 这是由于其中残余的少量草酸的分解; 在 240~270 °C 时失重达到 32.05%, 同时 DSC 曲线上出现一个强放热峰, 通过计算得知,  $\text{Bi}_2(\text{C}_2\text{O}_4)_3$  分解为  $\text{Bi}_2\text{O}_3$  时理论失重为 31.67%, 与测量值基本相同, 因此其对应  $\text{Bi}_2(\text{C}_2\text{O}_4)_3$  的分解; TG 曲线在 290~800 °C 基本无失重信号, 相应的 DSC 曲线在 290~350 °C、728~750 °C 分别出现一个放热峰和一个吸热峰, 这应该分别对应  $\beta \rightarrow \alpha$  转变和  $\alpha \rightarrow \delta$  转变<sup>[13,21]</sup>。由图 3(c) 可知, 前驱体 C-1 在 100~500 °C 有 4.5% 的失重, 这可能归因于残余少量分散剂的燃烧反应; 在 500~800 °C 时 TG 曲线基本无失重信号, DSC 曲线在 728~750 °C 出现的吸热峰应该对应于  $\gamma \rightarrow \delta$  转变。

### 2.3 漫反射光谱

图 4 为不同催化剂样品的紫外-可见漫反射光

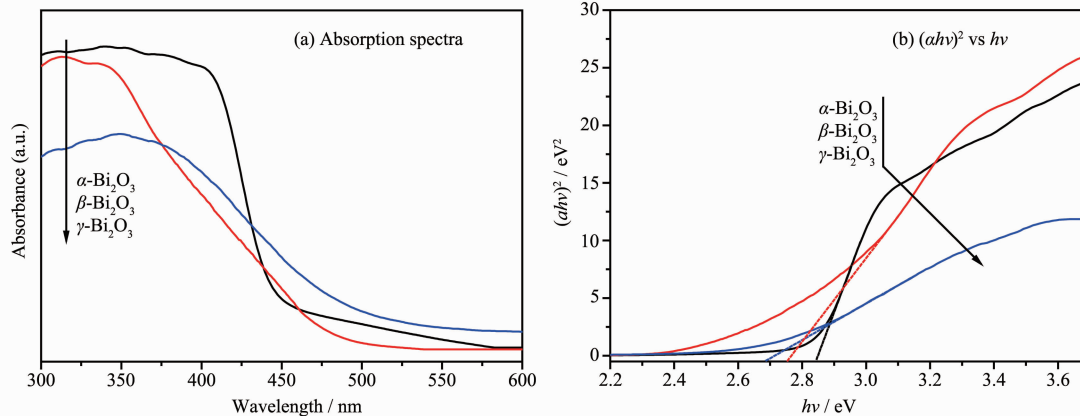


图 4 不同光催化剂的 UV-Vis 漫反射谱

Fig.4 UV-Vis diffuse reflectance spectrums of different samples

### 2.4 光催化活性

空白实验(Blank)和吸附/脱附实验(Adsorption/Desorption) 中 RhB 的脱色率见表 3。由表 3 可知 RhB 在可见光照射下具有较高的稳定性(脱色率仅为 0.7%)。在无光条件下添加光催化剂后, 样品会对 RhB 产生一定的吸附作用, 其吸附能力由大到小依次是:  $\gamma\text{-Bi}_2\text{O}_3 > \beta\text{-Bi}_2\text{O}_3 > \alpha\text{-Bi}_2\text{O}_3$ 。该结果与 TEM 图像及 BET 比表面积相对应, 由于  $\gamma\text{-Bi}_2\text{O}_3$  为纳米管结构, 具有较大的比表面积, 因此吸附能力最强; 反

表 3 对比实验中 RhB 的脱色率

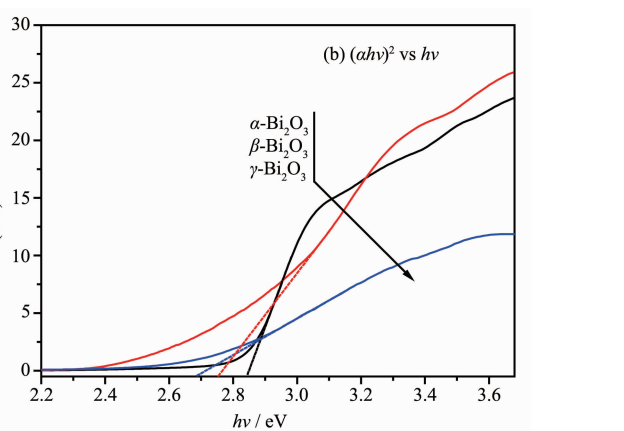
Table 3 Decolorization rate of contrast experiments

Contrast experiment	Blank	Adsorption / desorption		
		$\alpha\text{-Bi}_2\text{O}_3$	$\beta\text{-Bi}_2\text{O}_3$	$\gamma\text{-Bi}_2\text{O}_3$
Decolorization rate	0.7%	2.5%	4.3%	6.8%

谱(UV-Vis DRS)。由图 4(a) 可知,  $\alpha\text{-Bi}_2\text{O}_3$ 、 $\beta\text{-Bi}_2\text{O}_3$ 、 $\gamma\text{-Bi}_2\text{O}_3$  的吸收边分别位于 450、480、510 nm, 因此样品对可见光( $\lambda > 420$  nm) 均具有良好的吸收能力。图 4(a) 中  $\text{Bi}_2\text{O}_3$  的吸收边比较平滑, 说明其对可见光的吸收来源于本征跃迁而非杂质能级的跃迁。对于半导体而言, 可以通过式(1) 确定样品的带隙:

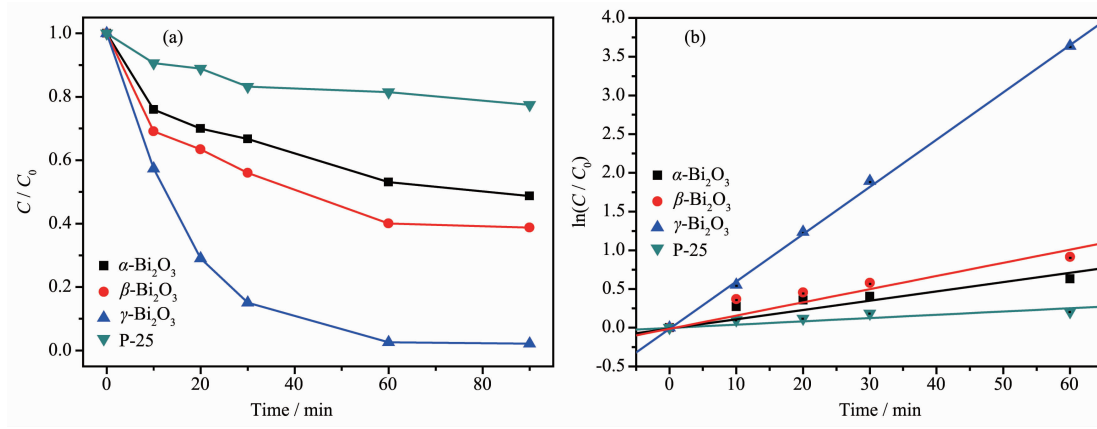
$$\alpha h\nu = A(h\nu - E_g)^{\frac{n}{2}} \quad (1)$$

式中  $\alpha$ 、 $\nu$ 、 $A$ 、 $E_g$  分别对应吸收系数、入射光频率、常数和带隙值。由图中吸收系数的平方值对能量作图(如图 4(b) 所示), 在曲线陡峭处基本为一直线, 说明  $\text{Bi}_2\text{O}_3$  为直接带隙半导体, 其带隙值可由带边附近曲线的切线与横轴的交点给出。由此可以得到不同晶体结构光催化剂的带隙值分别是:  $\alpha\text{-Bi}_2\text{O}_3$  为 2.84 eV,  $\beta\text{-Bi}_2\text{O}_3$  为 2.75 eV,  $\gamma\text{-Bi}_2\text{O}_3$  为 2.68 eV。



之, 制备的  $\alpha\text{-Bi}_2\text{O}_3$  颗粒粒径最大, 比表面积最小, 故吸附能力最弱。

图 5 为不同晶体结构的  $\text{Bi}_2\text{O}_3$  在可见光下的光催化降解效率/时间曲线, 同时以 P-25 作为参比样品。图 5(a) 表明: 经可见光照射 90 min 后, 各样品均表现出一定的光催化活性, 随着时间的推移, 降解速率逐渐减小。其中  $\gamma\text{-Bi}_2\text{O}_3$  的光催化活性最好, 90 min 内 RhB 的脱色率可达 97.8%; 其次是  $\beta\text{-Bi}_2\text{O}_3$  和  $\alpha\text{-Bi}_2\text{O}_3$ , 其脱色率分别为 61.3%、51.3%; 最弱的是 P-25, 90 min 后脱色率仅为 22.6%。样品的可见光光催化活性对比如下:  $\gamma\text{-Bi}_2\text{O}_3 > \beta\text{-Bi}_2\text{O}_3 > \alpha\text{-Bi}_2\text{O}_3 > \text{P-25}$ 。由于半导体材料在溶液中进行的光催化均属于多相光催化, 反应物分子在其表面的吸附满足 Langmuir-Hinshelwood 吸附条件, 且在光催化反应

(a) Decolorization rate changes of RhB; (b) Variations in  $\ln(C_0/C)$  as a function of irradiation time图 5 光催化降解 RhB  
Fig.5 Photodegradation of RhB

过程中,反应物浓度很低且在催化剂表面吸附较弱,因此该过程呈现一级反应动力学特征<sup>[24,25]</sup>,即满足式(2):

$$\ln(C_0/C)=k_1 t \quad (2)$$

其中  $C_0$ 、 $C$ 、 $k_1$ 、 $t$  分别代表反应物起始浓度、经过时间  $t$  照射后反应物的浓度、一级反应速率常数、照射时间,式中的  $k_1$  可用来衡量样品催化活性的大小。以  $\ln(C_0/C)$  对  $t$  作图并进行线性拟合,其结果如图 5(b)所示。由图中可知, $\alpha$ 、 $\beta$ 、 $\gamma$ - $\text{Bi}_2\text{O}_3$  及 P-25 可见光光催化的一级反应速率常数  $k_1$  分别为:0.010 6、0.015 3、0.060 6、0.003 4  $\text{min}^{-1}$ ,显然  $\gamma\text{-Bi}_2\text{O}_3$  具有最好的可见光光催化活性。

其原因主要有两点:一是由于  $\gamma\text{-Bi}_2\text{O}_3$  具有纳米管状结构,有相对较大的比表面积,因此在光催化反应中,反应物分子容易在催化剂表面吸附,可以充分与光生载流子发生反应。粒径越小,载流子从催化剂体内扩散到表面的时间就越短,电子与空穴复合的几率越小,量子产率越高;另一方面,由于表面效应使粒子表面存在大量的氧空位,反应活性位置明显增加,因此其催化活性较高。第二是由于  $\gamma\text{-Bi}_2\text{O}_3$  具有相对较窄的带隙。由 UV-Vis DRS 结果可知, $\gamma\text{-Bi}_2\text{O}_3$  在紫外到 510 nm 以内的可见光区有较强的吸收,光谱响应范围宽,因此在实验中对可见光有更高的利用率,导致了其催化活性的提高。比表面积较小且带隙较宽的  $\beta\text{-Bi}_2\text{O}_3$  和  $\alpha\text{-Bi}_2\text{O}_3$  催化剂其吸附能力较弱、光源利用率低,因此它们的光催化活性比  $\gamma\text{-Bi}_2\text{O}_3$  有较大的降低。

### 3 结 论

(1) 采用化学沉淀法制备了  $\alpha$ 、 $\beta$ 、 $\gamma$  3 种晶体结

构的  $\text{Bi}_2\text{O}_3$  光催化剂。TEM 结果表明制备的  $\gamma\text{-Bi}_2\text{O}_3$  为纳米管状。

(2) 不同晶体结构的  $\text{Bi}_2\text{O}_3$  在可见光区均有较强的吸收, $\alpha$ 、 $\beta$ 、 $\gamma$  相  $\text{Bi}_2\text{O}_3$  的带隙值分别为 2.84、2.75、2.68 eV,其可见光光催化活性对比如下: $\gamma\text{-Bi}_2\text{O}_3 > \beta\text{-Bi}_2\text{O}_3 > \alpha\text{-Bi}_2\text{O}_3$ ,且均优于 P-25。

(3)  $\gamma\text{-Bi}_2\text{O}_3$  较高的催化活性主要来源于其特殊的形貌和相对较窄的带隙。

### 参考文献:

- [1] Fujishima A, Honda K. *Nature*, **1972**, *238*:37~38
- [2] ZOU Zhi-Gang(邹志刚), ZHAO Jin-Cai(赵进才), FU Xian-Zhi(付贤智), et al. *Funct. Mater. Inform.(Gongneng Cailiao Xinxi)*, **2005**, *2*(6):15~20
- [3] YAN Jun-Ping(闫俊萍), ZHANG Zhong-Tai(张中太), TANG Zi-Long(唐子龙), et al. *J. Inorg. Mater.(Wuji Cailiao Xuebao)*, **2003**, *18*(5):980~988
- [4] GAO Lian(高濂), ZHENG Shan(郑珊), ZHANG Qing-Hong(张青红). *Nano-TiO<sub>2</sub> Photocatalyst and Applications(纳米氧化钛光催化材料及应用)*. Beijing: Chemical Industry Press, **2002**.39~53
- [5] OHNO T, TOKIEDA K, HIGASHIDA S, et al. *Appl. Catal. A: General*, **2003**, *244*:383~391
- [6] WANG Zhen-Xing(王振兴), DING Shi-Wen(丁士文), ZHANG Mei-Hong(张美红). *Chinese J. Inorg. Chem.(Wuji Huaxue Xuebao)*, **2005**, *21*(3):437~440
- [7] TANG J, WU Y Y, McFARLAND E W, et al. *Chem. Commun.*, **2004**, *14*:1670~1671
- [8] CHEN Song-Zhe(陈崧哲), ZHANG Peng-Yi(张彭义), ZHU Wan-Peng(祝万鹏), et al. *Prog. Chem.(Huaxue Jinzhan)*, **2004**, *16*(4):613~619

- [9] HUANG Wen-Ya(黄文娅), YU Ying(余颖). *Prog. Chem. (Huaxue Jinzhan)*, **2005**,**17**(2):242~247
- [10] REN Ling(任凌), YANG Fa-Da(杨发达), ZHANG Yuan-Ming(张渊明), et al. *Chinese J. Inorg. Chem. (Wuji Huaxue Xuebao)*, **2008**,**24**(4):541~546
- [11] YU Ai-Min(于爱敏), WU Guang-Jun(武光军), YAN Jing-Jing(严晶晶), et al. *Chinese J. Catal. (Cuihua Xuebao)*, **2009**,**30**(2):137~141
- [12] LI Wei(李卫), ZHOU Ke-Chao(周科朝), YANG Hua(杨华). *J. Mater. Sci. Eng. (Cailiao Kexue Yu Gongcheng Xuebao)*, **2004**,**22**(1):154~156
- [13] Sammes N M, Tompsett G A, Nafe H, et al. *J. Euro. Ceram. Soc.*, **1999**,**19**:1801~1826
- [14] Leontie L, Caraman M, Delibas M, et al. *Mater. Res. Bull.*, **2001**,**36**:1629~1637
- [15] Drache M, Roussel P, Wignacourt J P. *Chem. Rev.*, **2007**, **107**:80~96
- [16] Zhang L S, Wang W Z, Yang J, et al. *Appl. Catal. A: General*, **2006**,**308**:105~110
- [17] Bessekhouad Y, Robert D, Weber J V. *Catal. Today*, **2005**, **101**:315~321
- [18] Wang C H, Shao C L, Wang L J, et al. *J. Colloid Interf. Sci.*, **2009**,**333**:242~248
- [19] Gurunathan K. *Int. J. Hydrogen Energy*, **2004**,**29**:933~940
- [20] Medernach J W, Snyder R L. *J. Am. Ceram. Soc.*, **1978**,**61**:494~497
- [21] Monnereau O, Tortet L, Llewellyn P, et al. *Solid State Ionics*, **2003**,**157**:163~169
- [22] Li W. *Mater. Chem. Phys.*, **2006**,**99**:174~180
- [23] Agli G D, Colantuono A, Mascolo G. *Solid State Ionics*, **1999**,**123**:87~94
- [24] Xu J J, Ao Y H, Fu D G, et al. *Appl. Sur. Sci.*, **2008**,**255**:2365~2369
- [25] FAN Shan-Hu(范山湖), SUN Zhen-Fan(孙振范), WU Quan-Zhou(邬泉周), et al. *Acta Phys.-Chim. Sin. (Wuli Huaxue Xuebao)*, **2003**,**19**(1):25~29